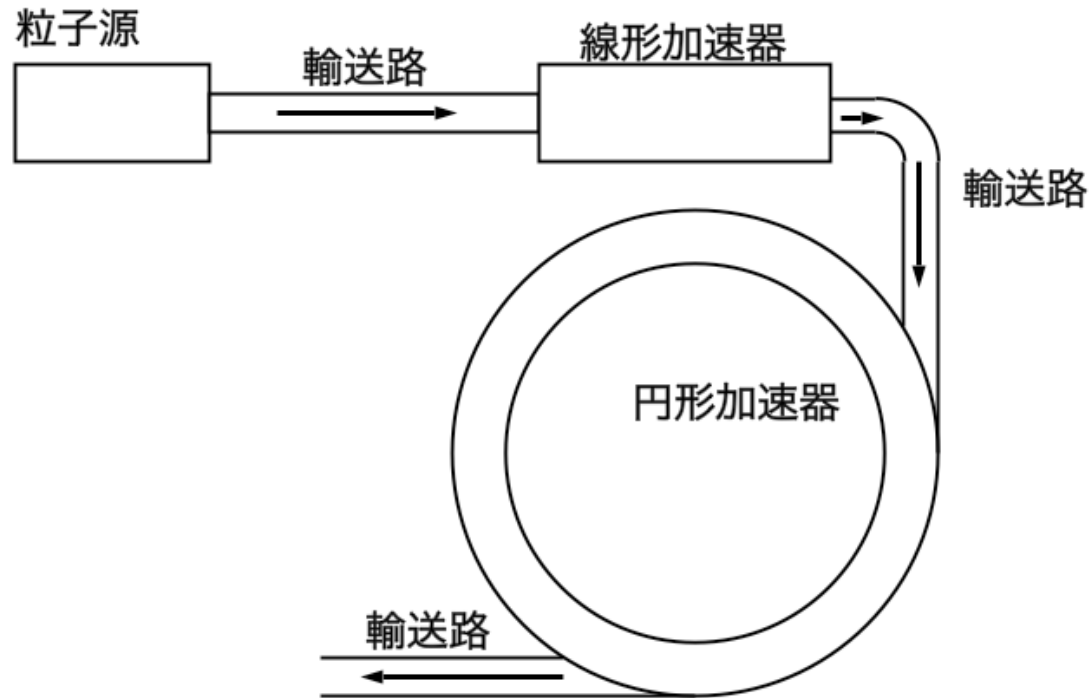


# ビーム輸送の物理（入門）

0ho-07

# ビーム輸送路とは



# 加速器の概念

同期加速：各種加速器

線形加速器

円形加速器

収束

縦方向：位相安定の原理

横方向：弱収束

強収束

# 荷電粒子の運動

加速器でのエネルギー＝運動エネルギー

非相対論的  $T = \frac{1}{2} m_0 \vec{v}^2$

相対論的  $T = E - m_0 c^2 = \sqrt{c^2 \vec{p}^2 + m_0^2 c^4} - m_0 c^2$   
 $= m_0 \gamma c^2 - m_0 c^2$

力学的運動量  $\vec{p} = m \vec{v} = m_0 \gamma \vec{v}$

運動方程式  $\dot{\vec{p}} = \frac{d\vec{p}}{dt} = \vec{F} = q(\vec{E} + \vec{v} \times \vec{B})$

MKSA単位系

# エネルギーの増減

エネルギー増減率  $\dot{T} = \frac{d}{dt} \sqrt{c^2 \vec{p}^2 + m_0^2 c^4} = \frac{c^2 \vec{p} \dot{\vec{p}}}{m_0 \gamma c^2} = \vec{v} \cdot \dot{\vec{p}}$

$$\dot{T} = \vec{v} \cdot q(\vec{E} + \vec{v} \times \vec{B}) = q\vec{E} \cdot \frac{d\vec{r}}{dt}$$

エネルギー変化量  $\Delta T = \int T \dot{t} = q \int \vec{E} \cdot d\vec{r} = qU$

電位差  $U$  : Volt

エネルギー単位 : eV  $1eV \cong 1.6 \times 10^{-19} \text{ Joule}$

$$kT = 1eV, T \cong 1.2 \times 10^4 K$$

$$\lambda \cong 0.5 \mu m, h\nu \cong 2.5eV$$

# 粒子の偏向

$$\frac{d\vec{p}}{dt} = \vec{F} = q(\vec{E} + \vec{v} \times \vec{B})$$

$\vec{E}$     $\vec{v} \times \vec{B}$    は同じ次元

E:  $\sim 10$  kV/mm,  $10^7$  V/m

B:  $\sim 2$ T

cB:  $\sim 6 \times 10^8$

高エネルギーでは磁場は電場の約100倍の効果

粒子源では電場も有効

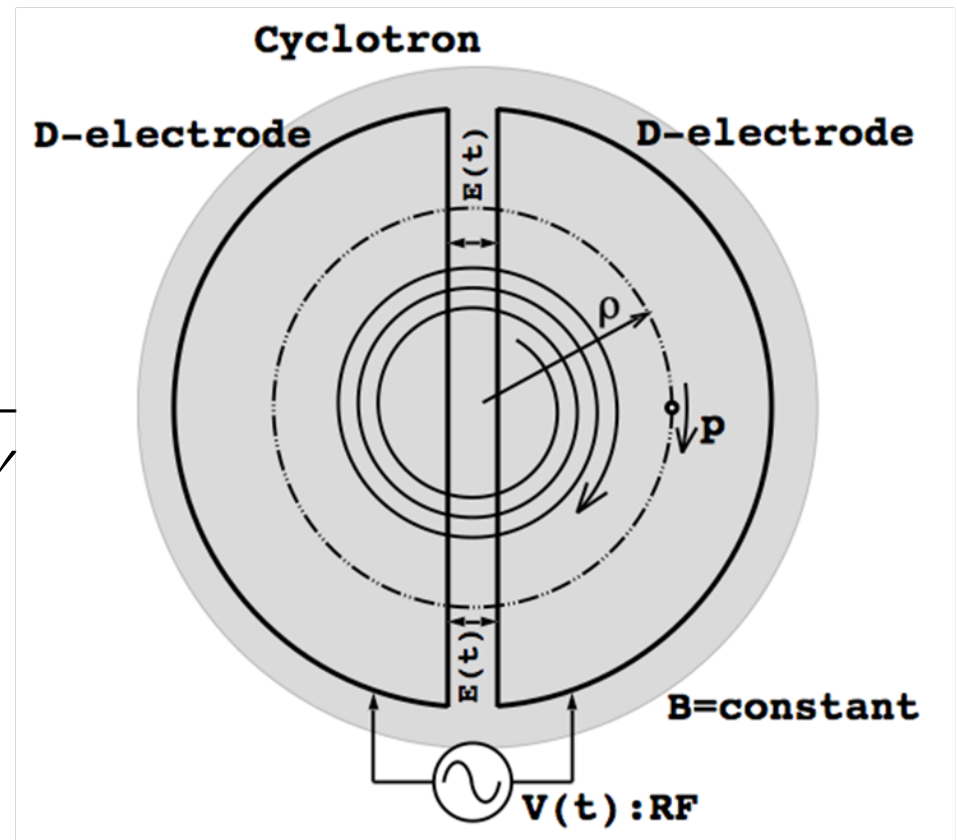
# 同期加速（繰り返し加速）

サイクロトロン

円軌道

$$p = mv = qB\rho$$

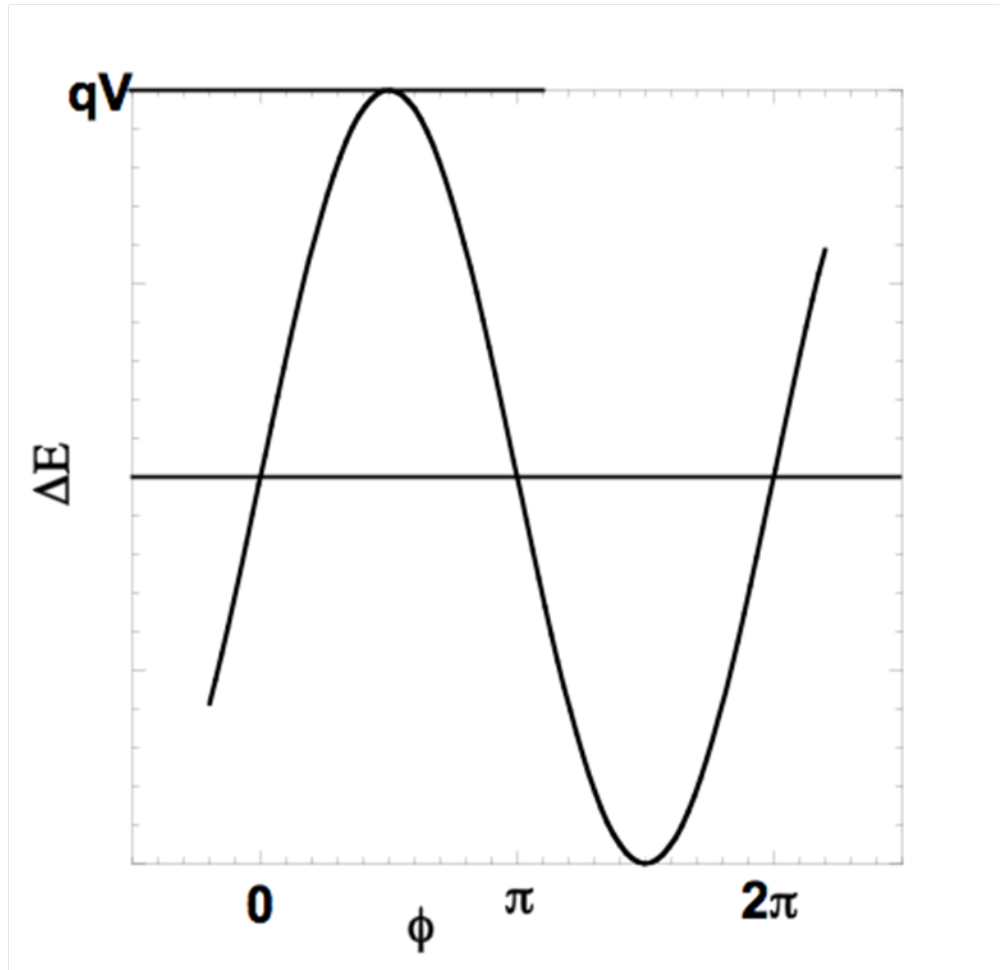
$$f_{rev} = \frac{v}{2\pi\rho} = \frac{qB}{2\pi m} = \frac{qB}{2\pi m_0\gamma}$$



# 交流電場による加速

サイクロトロン

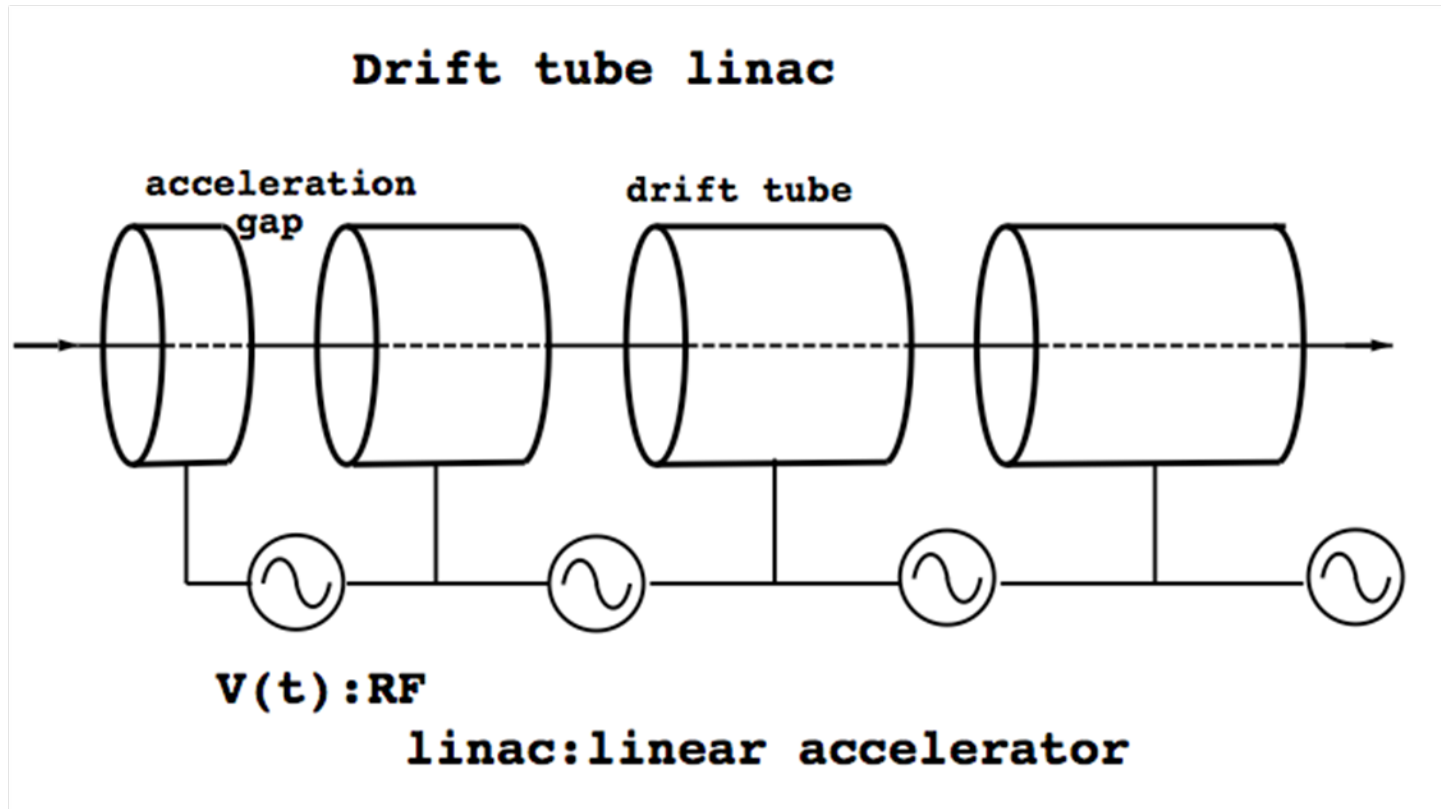
完全同期





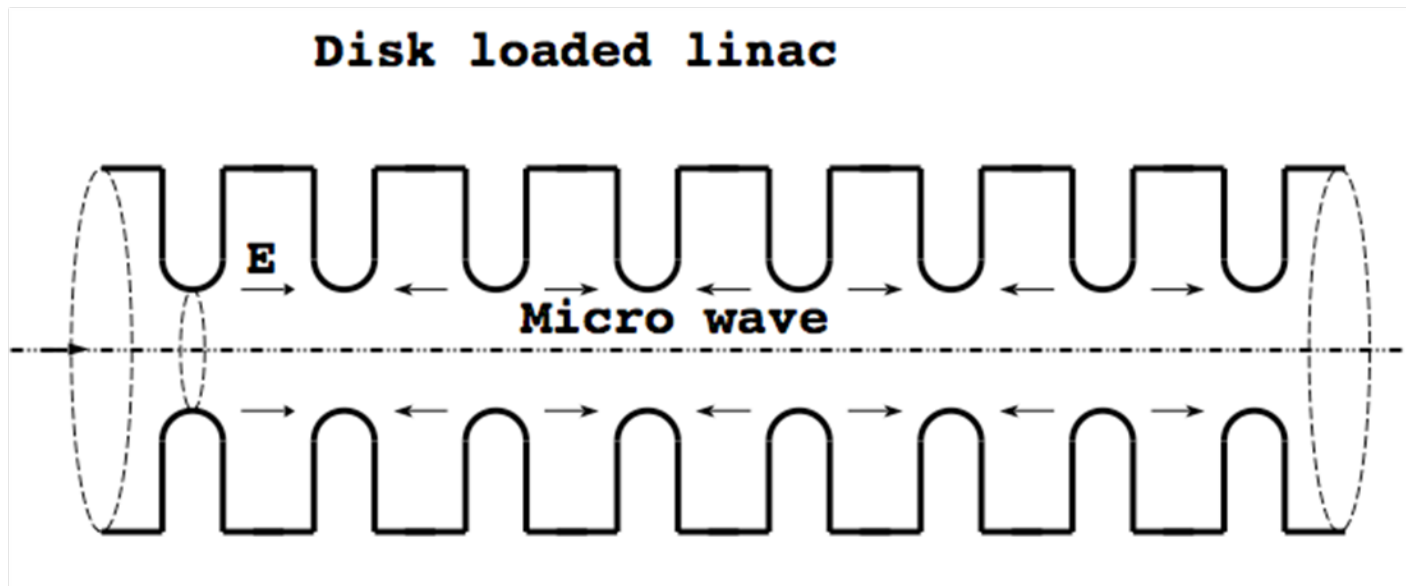
# 線形加速器 1

Drift-tube Linac 非相対論的エネルギー領域



# 線形加速器 2

Disk-loaded Linac      相対論的電子加速



加速空洞構造：空洞共振器

各種の加速空洞が，線形円形の加速器で使用

# 円形加速器

時間的に一定磁場

径方向に不均一磁場、一定周波数：  
リングサイクロトロン

周波数変調：シンクロサイクロトロン

加速繰り返しは周波数変調の繰り返し

時間的に変動磁場

サイクロトロン：高エネルギー円形加速器の定番

加速繰り返しは磁場，周波数変調の繰り返し

# シンクロトロン (モデル)

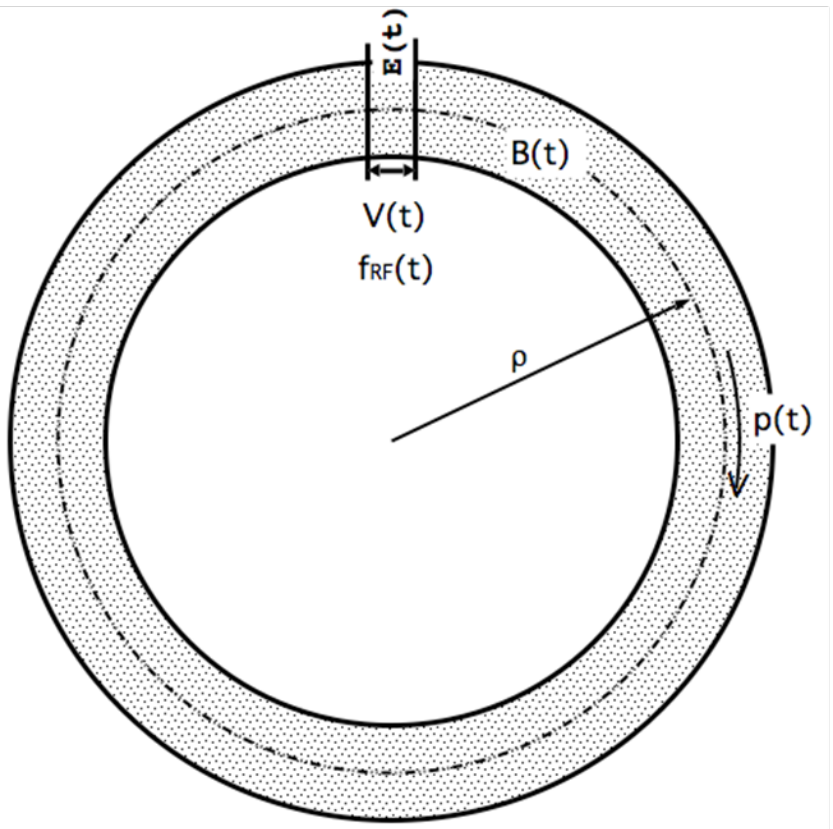
一定軌道

運動量と磁場との同調

$$p(t) = qB(t)\rho$$

回転周波数と交流電場の  
周波数の同調

$$f_{acc}(t) = (\text{integer}) \cdot f_{rev}(t) = (\text{integer}) \cdot \frac{v(t)}{2\pi\rho}$$



(例外：電子蓄積リング)

# 収束作用

粒子の運動の3自由度の全てで収束が必須

進行方向（縦方向）：位相安定の原理  
（地震と同じ）

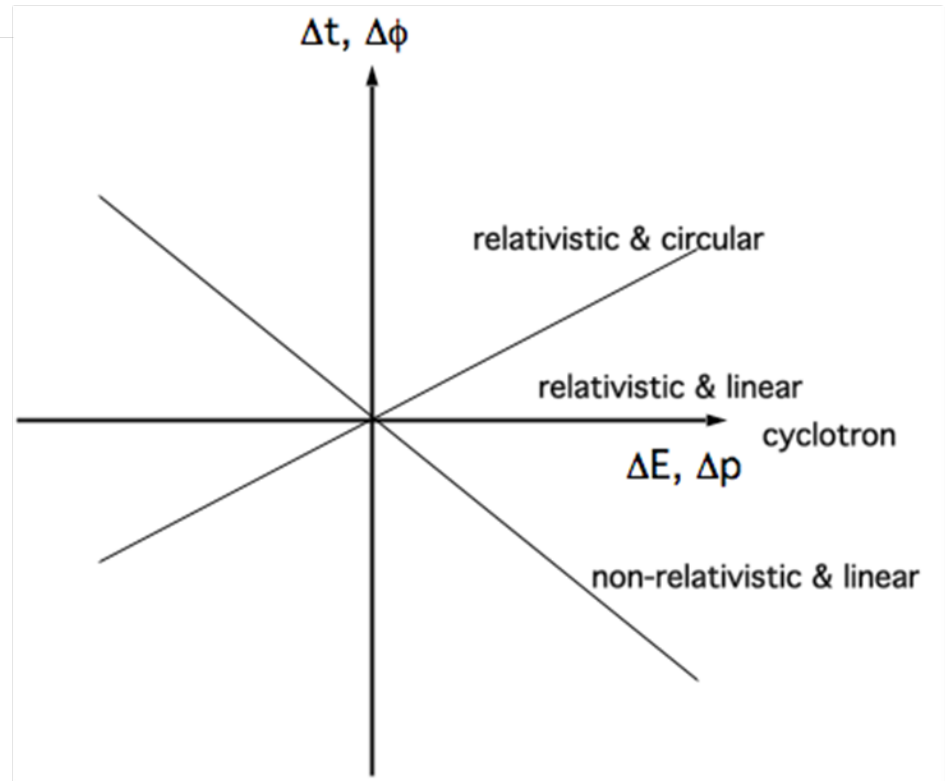
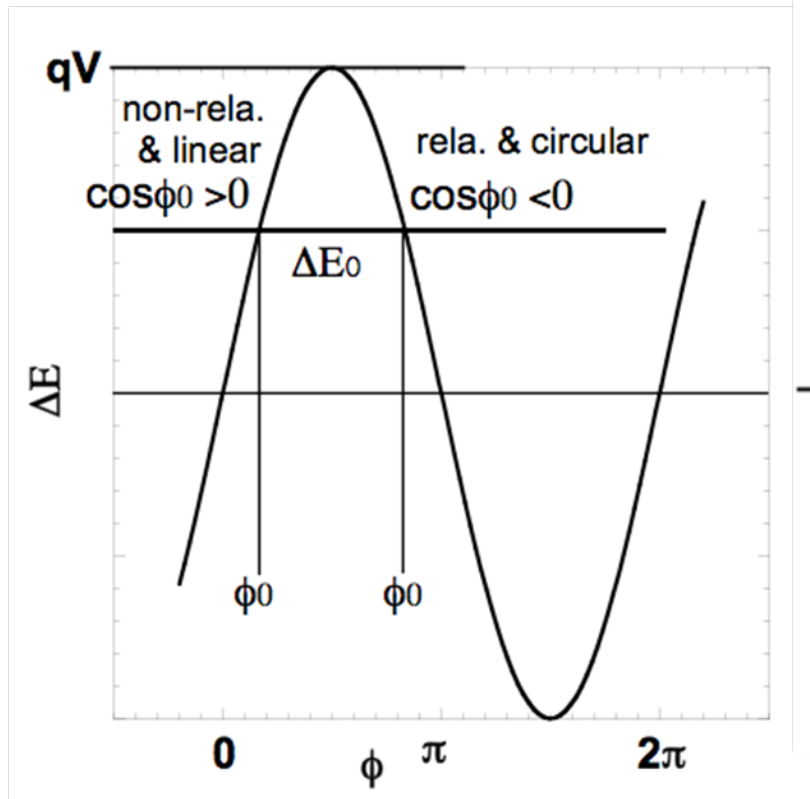
横方向（水平、垂直）：弱収束  
強収束の原理

# 位相安定の原理

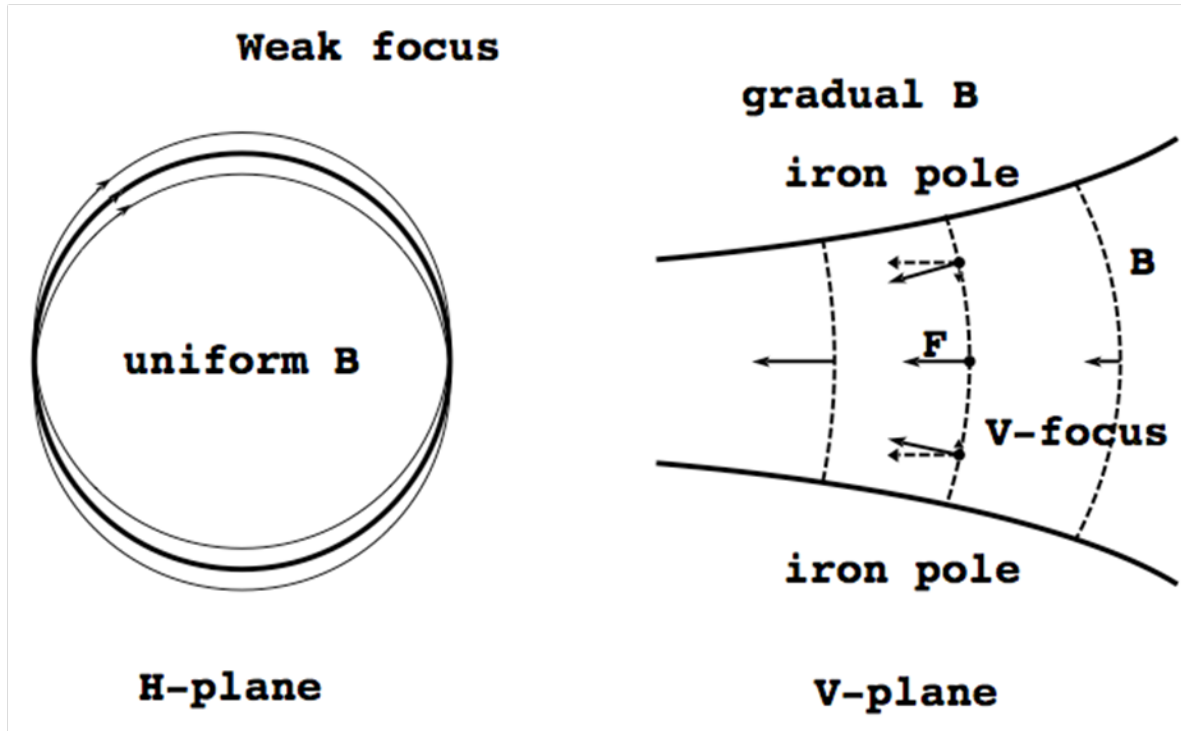
原点：平衡位相

平衡エネルギー（運動量）

シンクロトロン振動



# 横方向の弱収束



軌道中心は左

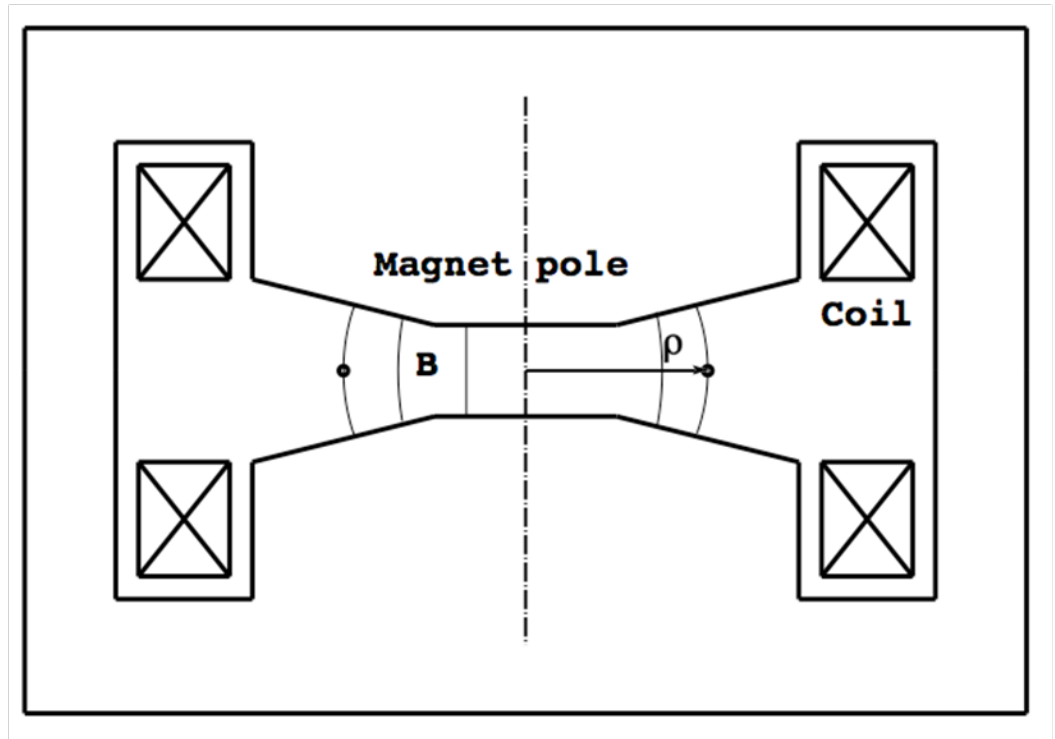
# 横方向の弱収束

原点：中心軌道

ベータトロン振動

ベータトロン  
(道草)

一定円軌道  
誘導電場による加速  
(同期は不要)  
ただし、磁場に条件



垂直断面



# ベータトロン条件

誘導電場  $\nabla \times \vec{E} = -\frac{\partial \vec{B}}{\partial t}$

$$2\pi\rho E_{\phi}(t) = -\frac{d}{dt} \int_{\rho} B(r,t) dS = -\dot{\Phi}(t)$$

運動量の時間変化

$$\dot{p} = qE_{\phi}(t) = -q \frac{\dot{\Phi}}{2\pi\rho}$$

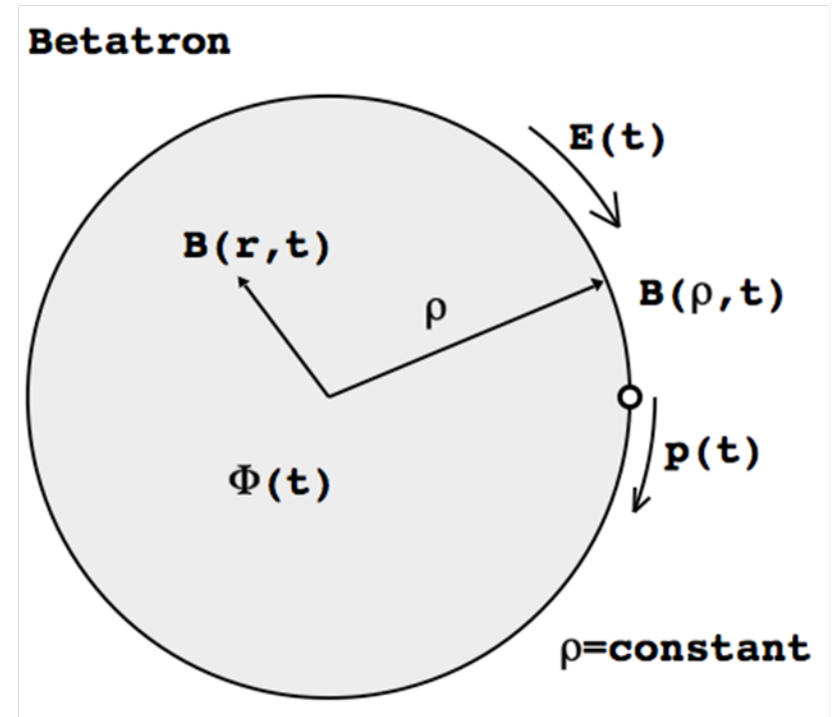
軌道一定

$$\dot{p} = q\rho \dot{B}_{\rho}$$

磁場変化の条件

$$\dot{\Phi} = 2\pi\rho^2 \dot{B}_{\rho} = 2S_{\rho} \dot{B}_{\rho}$$

$$\Phi(t) - \Phi(0) = 2S_{\rho} (B_{\rho}(t) - B(0))$$



# 弱収束の定式化1

周方向に一様磁場

垂直磁場

$$B_z(r, z) = \frac{B_\rho}{(r/\rho)^n}$$
$$B_z(\rho + x, z) = \frac{B_\rho}{((r+x)/\rho)^n} \approx B_\rho \left(1 - \frac{n}{\rho} x\right)$$
$$\frac{\partial B_r}{\partial z} - \frac{\partial B_z}{\partial r} = 0$$

水平磁場

$$B_r(r, z) \approx -\frac{nB_\rho}{(r/\rho)^{n+1}} \frac{z}{\rho} \approx -B_\rho \frac{n}{\rho} z$$

# 弱収束の定式化2

水平方向軌道  $(x(\theta), x'(\theta))$

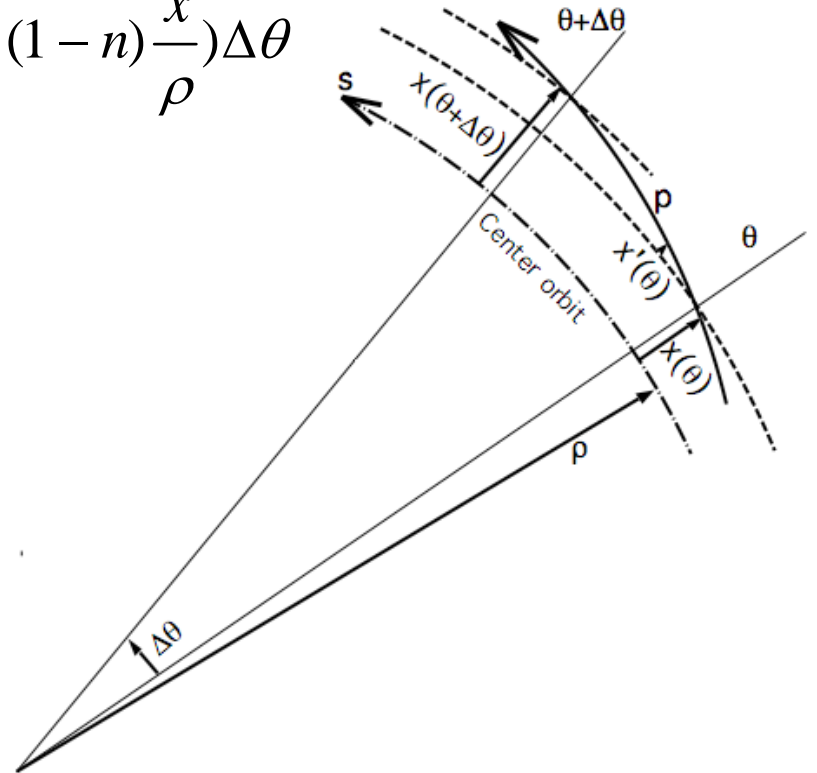
偏向角  $-\frac{\rho+x}{\rho}(1-\frac{nx}{\rho})\Delta\theta \sim -(1+(1-n)\frac{x}{\rho})\Delta\theta$

$$x(\theta + \Delta\theta) = x(\theta) + x'(\theta)\rho\Delta\theta,$$

$$x'(\theta + \Delta\theta) = x'(\theta) - (1-n)\frac{x}{\rho}\Delta\theta$$

$$\frac{dx}{d\theta} = x'\rho, \quad \frac{dx'}{d\theta} = -(1-n)\frac{x}{\rho}$$

$$\frac{d^2x}{d\theta^2} + (1-n)x = 0$$



## 弱収束の定式化3

垂直方向  $z(\theta + \Delta\theta) = z(\theta) + z'(\theta)\rho\Delta\theta,$   
 $z'(\theta + \Delta\theta) = z'(\theta) - n \frac{z}{\rho} \Delta\theta$

まとめると,

$$\begin{array}{l} \frac{d^2x}{d\theta^2} + (1-n)x = 0 \\ \frac{d^2z}{d\theta^2} + nz = 0 \end{array}$$

$$\frac{\partial B_z}{\partial x} = -\frac{n}{\rho} B_\rho = \frac{\partial B_x}{\partial z}$$

2方向で逆作用

$0 < n < 1$ で両方収束：弱収束

(リングサイクロトロン<sup>①</sup>の周方向の非一様磁場)

# 強収束の導入1

光学レンズ系

光線の行列表現：粒子軌道の表現の導入

入口、出口の光線  $(x_i, x'_i)$   $(x_f, x'_f)$

自由空間：

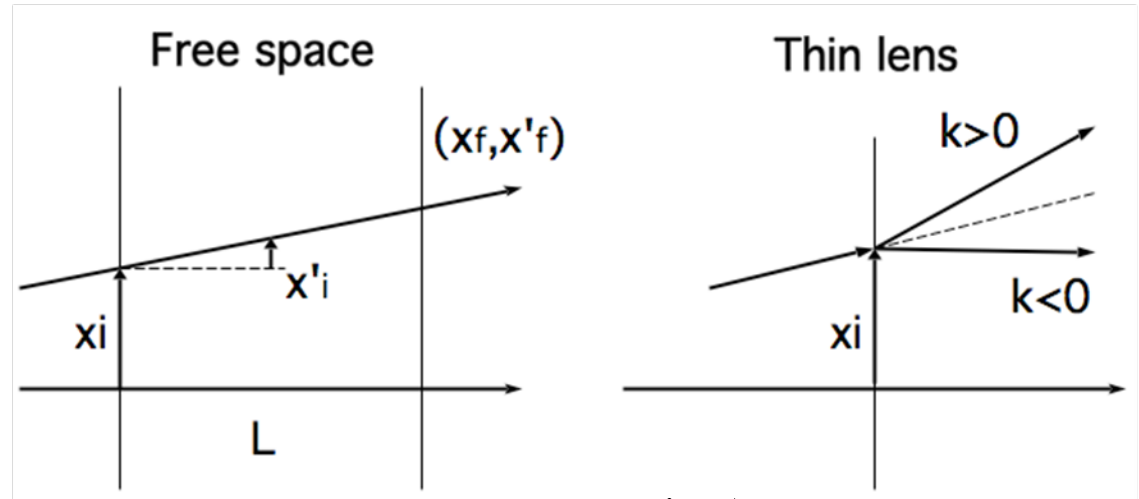
$$x_f = x_i + L \cdot x'_i,$$
$$x'_f = x'_i$$

(理想) レンズ：

$$x_f = x_i,$$
$$x'_f = x'_i + k \cdot x_i$$

# 強収束の導入2

行列表現



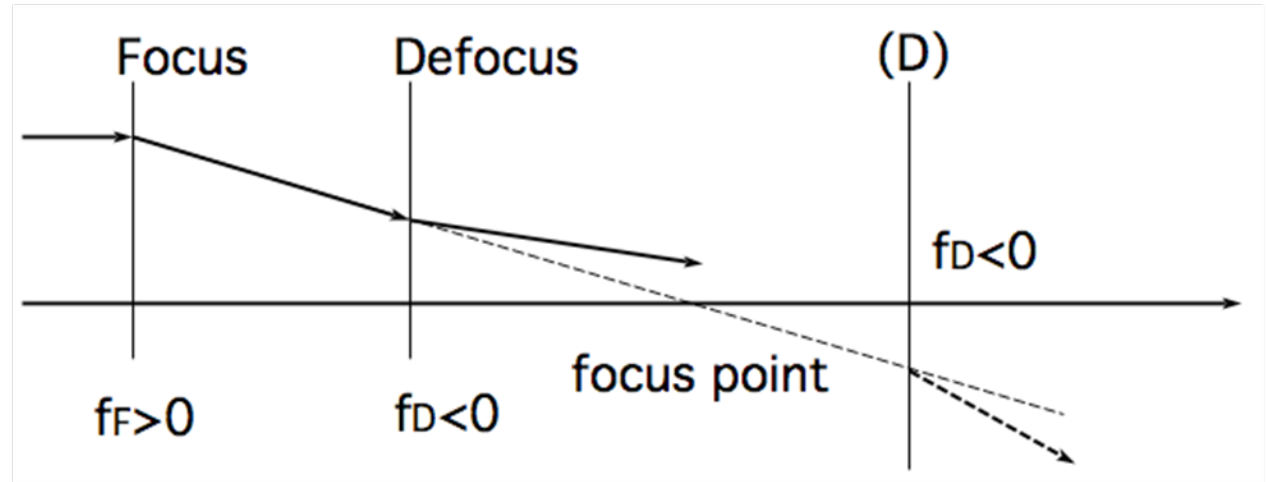
$$\begin{pmatrix} x_f \\ x'_f \end{pmatrix} = \begin{bmatrix} 1 & L \\ 0 & 1 \end{bmatrix} \cdot \begin{pmatrix} x_i \\ x'_i \end{pmatrix}$$

$$\begin{pmatrix} x_f \\ x'_f \end{pmatrix} = \begin{bmatrix} 1 & 0 \\ k & 1 \end{bmatrix} \cdot \begin{pmatrix} x_i \\ x'_i \end{pmatrix}$$

kは焦点距離の逆数で逆符号

光線の計算：光学要素の順に行列の（左）積

# 強収束の導入3



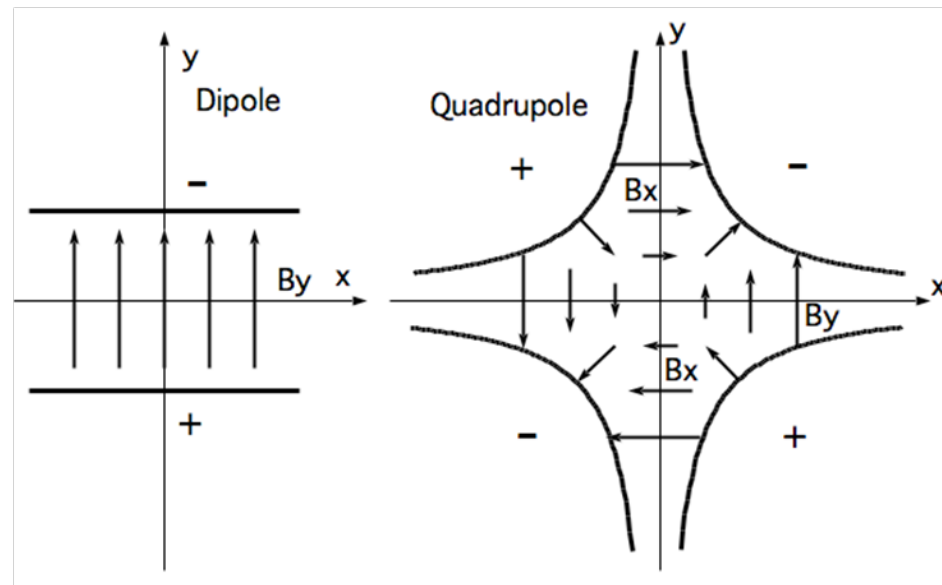
$$\begin{bmatrix} 1 & 0 \\ -\frac{1}{f_D} & 1 \end{bmatrix} \cdot \begin{bmatrix} 1 & L \\ 0 & 1 \end{bmatrix} \cdot \begin{bmatrix} 1 & 0 \\ -\frac{1}{f_F} & 1 \end{bmatrix} = \begin{bmatrix} 1 - \frac{L}{f_F} & * \\ \frac{(L - f_D - f_F)}{f_D \cdot f_F} & * \end{bmatrix}$$

$f_D = -f_F$  とすると  $\frac{L - f_D - f_F}{f_D \cdot f_F} = -\frac{L}{f_F^2}$

# ベータ トロン振動の定式化1

強収束の導入によって、周方向（軌道方向）で非一様な磁場  
線形、円形加速器だけでなく輸送路の収束も扱える

磁場（磁石）の種類：水平偏向磁場、4極磁場





# ベータ トロン振動の定式化2

運動方程式

4極磁場  $B_y = \left( \frac{\partial B_y}{\partial x} \right) \cdot x = g \cdot x$        $B_x = g \cdot y$

軌道  $(x(s), x'(s))$

$$\frac{dp_x}{dt} = -qvB_y \quad x' = \frac{v_x}{v} = \frac{p_x}{p}$$

$$\frac{dx'}{ds} = -\frac{q}{p} \cdot g \cdot x = K(s) \cdot x \quad \frac{dx}{ds} = x'$$

$$\frac{d^2x}{ds^2} - K(s) \cdot x = 0 \quad \frac{d^2y}{ds^2} + K(s) \cdot y = 0$$

# ベータ トロン振動の定式化3

水平偏向磁場

$$\frac{d^2x}{d\theta^2} + (1-n)x = 0$$

$$\frac{d^2x}{ds^2} + \frac{1}{\rho^2} (1-n)x = 0$$

$$K(s) = -\frac{1}{\rho^2} \quad \text{とすればよい}$$

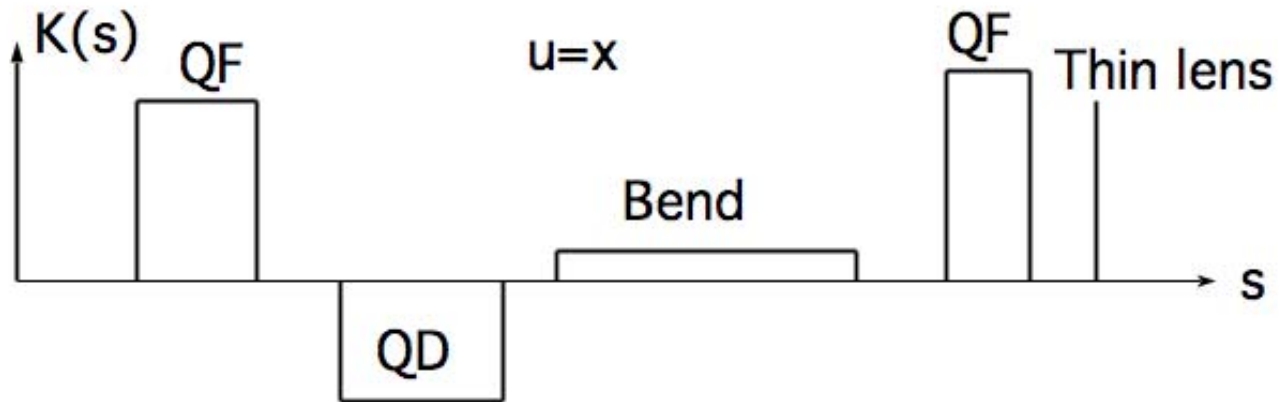
ただし、垂直方向の運動では  $K(s) = 0$

# ベータ トロン振動の定式化4

共通の運動方程式  $u = x, y$

$$\frac{d^2 u}{ds^2} + K(s) \cdot u = 0$$

$K(s)$  : 区分的に一定の値



# 転送行列1

$$\frac{d^2 u}{ds^2} + K(s) \cdot u = 0$$

2つの解

$$\begin{array}{ll} (C(s, s_0), C'(s, s_0)) & (u(s_0), u'(s_0)) = (1, 0) \\ (S(s, s_0), S'(s, s_0)) & (u(s_0), u'(s_0)) = (0, 1) \end{array}$$

$$\begin{pmatrix} u(s_1) \\ u'(s_1) \end{pmatrix} = \begin{bmatrix} C(s_1, s_0) & S(s_1, s_0) \\ C'(s_1, s_0) & S'(s_1, s_0) \end{bmatrix} \cdot \begin{pmatrix} u(s_0) \\ u'(s_0) \end{pmatrix} = \overline{\overline{M}}(s_1, s_0) \cdot \begin{pmatrix} u(s_0) \\ u'(s_0) \end{pmatrix}$$

$$\begin{pmatrix} u(s_2) \\ u'(s_2) \end{pmatrix} = \overline{\overline{M}}(s_2, s_1) \cdot \overline{\overline{M}}(s_1, s_0) \cdot \begin{pmatrix} u(s_0) \\ u'(s_0) \end{pmatrix}$$

# 転送行列2

例：4 極収束磁場  $K(s) = K > 0$

$$C(s, s_0) = \cos(\sqrt{K}(s - s_0)),$$

$$S(s, s_0) = \frac{1}{\sqrt{K}} \sin(\sqrt{K}(s - s_0))$$

$$\overline{M}_F = \begin{bmatrix} \cos(\sqrt{K}L) & \frac{1}{\sqrt{K}} \sin(\sqrt{K}L) \\ -\sqrt{K} \sin(\sqrt{K}L) & \cos(\sqrt{K}L) \end{bmatrix}$$

4 極発散磁場  $K(s) = K < 0$

$$\overline{M}_D = \begin{bmatrix} \cosh(\sqrt{-K}L) & \frac{1}{\sqrt{-K}} \sinh(\sqrt{-K}L) \\ \sqrt{-K} \sinh(\sqrt{-K}L) & \cosh(\sqrt{-K}L) \end{bmatrix}$$

# 転送行列3

$$\frac{d^2u}{ds^2} + D(s)\frac{du}{ds} + K(s)u = 0 \quad : \text{一般の運動方程式}$$

$$C''(s, s_0) + D(s)C'(s, s_0) + K(s)C(s, s_0) = 0,$$

$$S''(s, s_0) + D(s)S'(s, s_0) + K(s)S(s, s_0) = 0$$

$$\left(\frac{d}{ds} + D(s)\right) \cdot (C \cdot S' - S \cdot C') = 0 \quad \text{を満たす.}$$

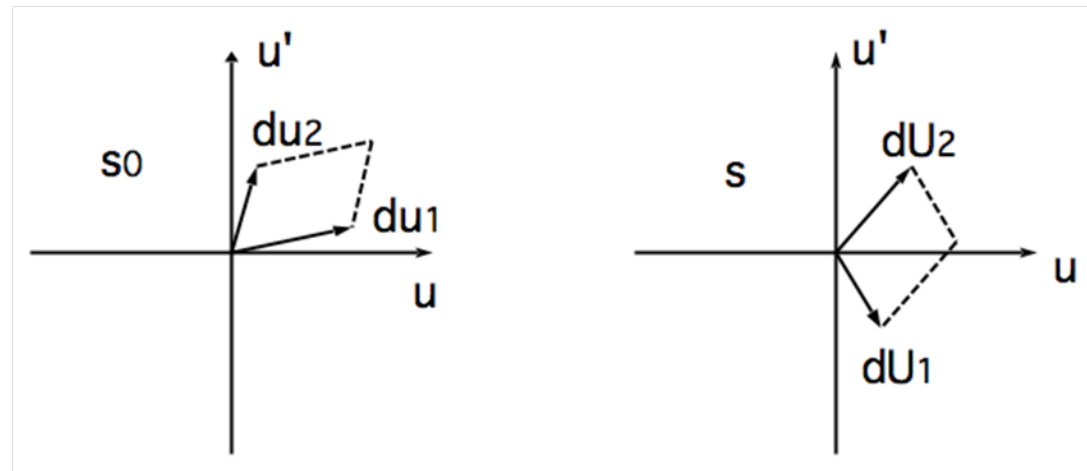
$D(s) = 0$ ならば,  $(C \cdot S' - S \cdot C')$  は定数で 1 .

転送行列の行列式は常に 1 .

# 位相平面

2次元平面

$(u(s), u'(s))$



$$\begin{bmatrix} d\vec{U}_1 & d\vec{U}_2 \end{bmatrix} = \overline{\overline{M}}(s, s_0) \cdot \begin{bmatrix} d\vec{u}_1 & d\vec{u}_2 \end{bmatrix}$$

$$\det \begin{bmatrix} d\vec{U}_1 & d\vec{U}_2 \end{bmatrix} = \det \overline{\overline{M}}(s, s_0) \cdot \det \begin{bmatrix} d\vec{u}_1 & d\vec{u}_2 \end{bmatrix} = \det \begin{bmatrix} d\vec{u}_1 & d\vec{u}_2 \end{bmatrix}$$

面積が保存：解析力学のLiouvilleの定理

ただし、力学的運動量と正準運動量の意味

# Twiss parameterによる定式化1

ベータatron振動  $\frac{d^2 u}{ds^2} + K(s) \cdot u = 0$

単振動  $u(s) = A \cdot \cos(\sqrt{K}(s - s_0) + \phi_0),$   
 $u'(s) = -A \cdot \sqrt{K} \cdot \sin(\sqrt{K}(s - s_0) + \phi_0)$

単振動に似た解  $u(s) = A\sqrt{\beta(s)} \cdot \cos(\psi(s, s_0) + \phi_0)$

$$\psi'(s) = \frac{1}{\beta(s)} \quad (\sqrt{\beta})'' - (\sqrt{\beta})^{-3} + K(s)\sqrt{\beta} = 0$$

2つの自由度 (初期条件)

Twiss parameter

$$\beta(s) \quad \alpha(s) = -\frac{1}{2} \beta'(s), \quad \gamma(s) = \frac{1 + (\alpha(s))^2}{\beta(s)}$$



# Twiss parameterによる定式化2

保存量

単振動

$$u(s) = A \cdot \cos(\sqrt{K}(s - s_0) + \phi_0),$$

$$u'(s) = -A \cdot \sqrt{K} \cdot \sin(\sqrt{K}(s - s_0) + \phi_0)$$

$$(u(s))^2 + \frac{1}{K} (u'(s))^2 = A^2$$

ベータatron振動

$$u(s) = A\sqrt{\beta(s)} \cdot \cos(\psi(s, s_0) + \phi_0),$$

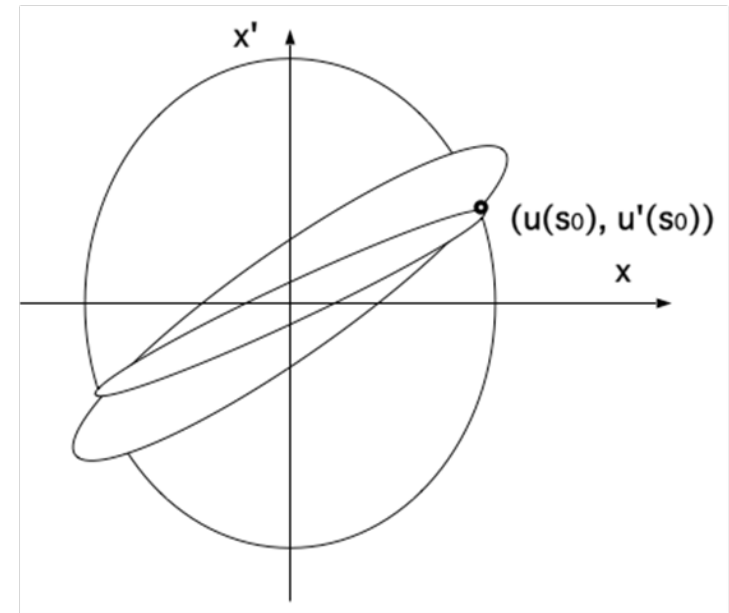
$$u'(s) = -A \frac{\alpha(s)}{\sqrt{\beta(s)}} \cdot \cos(\psi(s, s_0) + \phi_0) - A \frac{1}{\sqrt{\beta(s)}} \cdot \sin(\psi(s, s_0) + \phi_0)$$

$$A^2 = \gamma(s) \cdot (u(s))^2 + 2\alpha(s) \cdot u(s)u'(s) + \beta(s) \cdot (u'(s))^2$$

# Twiss parameterによる定式化3

保存量  $\gamma(s) \cdot (u(s))^2 + 2\alpha(s) \cdot u(s)u'(s) + \beta(s) \cdot (u'(s))^2 = 2J,$   
 $= \varepsilon$

2自由度に依存



ベータatron振動

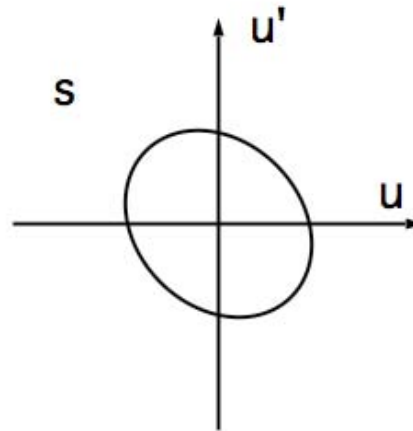
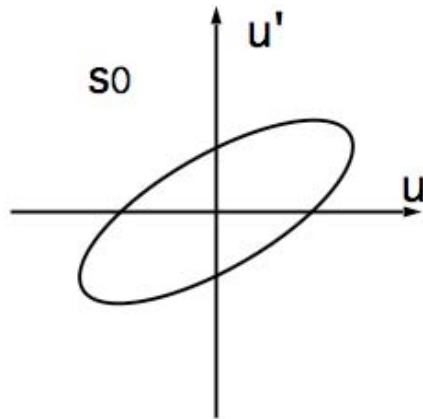
$$u(s) = \sqrt{2J\beta(s)} \cdot \cos(\psi(s, s_0) + \phi_0),$$

$$u'(s) = -\sqrt{\frac{2J}{\beta(s)}} (\alpha(s) \cdot \cos(\psi(s, s_0) + \phi_0) + \sin(\psi(s, s_0) + \phi_0))$$

# Twiss parameterによる定式化4

$$\gamma(s_0) \cdot (u(s_0))^2 + 2\alpha(s_0) \cdot u(s_0)u'(s_0) + \beta(s_0) \cdot (u'(s_0))^2 = 2J$$

$$\gamma(s) \cdot (u(s))^2 + 2\alpha(s) \cdot u(s)u'(s) + \beta(s) \cdot (u'(s))^2 = 2J$$



# 2つの定式化の関係

Twiss parameterから転送行列へ変換 (テキスト参照)

転送行列によるTwiss parameterの変換

転送行列：1つの粒子軌道を追跡

Twiss parameter：楕円の転送  
ただし，2自由度

# エミッタンス1

位相空間での粒子分布の密度が保存

粒子分布の広がり：エミッタンス

もし楕円で表されるならば、

(たまたま) Twiss parameter を利用できる.

粒子分布の変換は Twiss parameter の変換で容易に扱える.

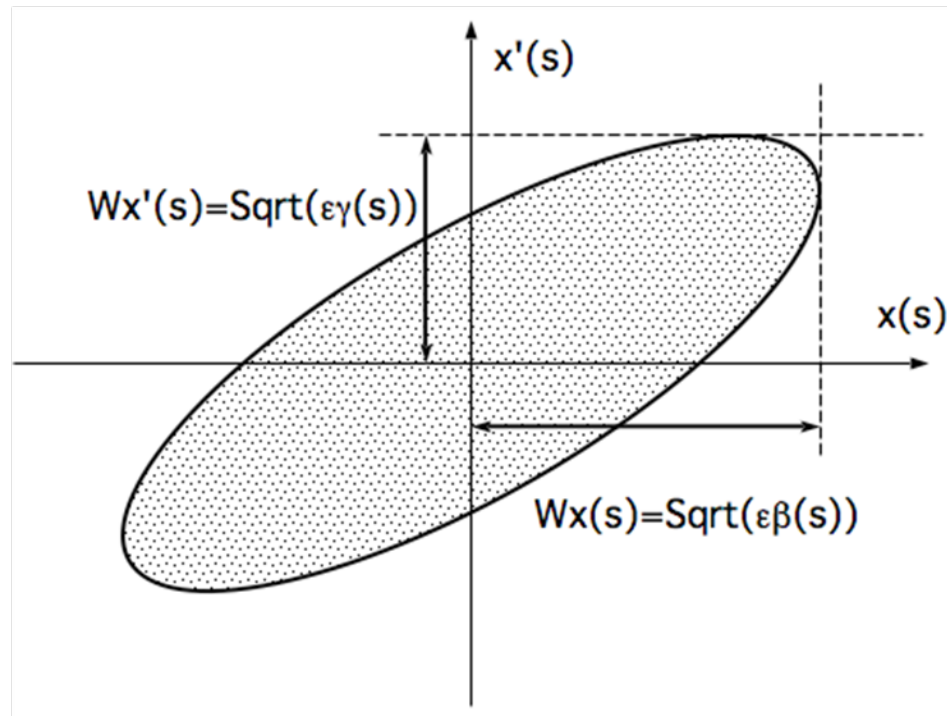
加速器、輸送路の Twiss parameter とは独立

一般には転送行列で扱う.

# エミッタンス2

$$\gamma(s) \cdot (u(s))^2 + 2\alpha(s) \cdot u(s)u'(s) + \beta(s) \cdot (u'(s))^2 = \varepsilon$$

楕円の面積を $\pi$ で割った値：エミッタンス



# エミッタンス3

解析力学の位相平面  $(x, p_x)$

リュービルの定理が正式に成り立つ.

加速器での位相平面  $(x, x')$

$$x' = \frac{v_x}{v} = \frac{mv_x}{mv} = \frac{p_x}{p} = \frac{p_x}{m_0 c \beta \gamma}$$

$\beta\gamma$  が一定であればエミッタンスが保存.

正規化エミッタンス  $\varepsilon_n = \beta\gamma\varepsilon$

加速すると, エミッタンスは減少: 断熱減衰

# アクセプタンス1

Twiss parameterには2つの自由度

リングでは,

$\beta(z)$  関数とその微分が連続という条件で決定.

輸送路では, リングとの接続条件、  
与えられた設計値, によって決定.

Twiss parameterがある場所で決まっているとする.

$$\gamma(s_0) \cdot (u(s_0))^2 + 2\alpha(s_0) \cdot u(s_0)u'(s_0) + \beta(s_0) \cdot (u'(s_0))^2 = \varepsilon$$

楕円内に粒子が分布すると見なす.



# アクセプタンス2

一般の場所では

$$\gamma(s) \cdot (u(s))^2 + 2\alpha(s) \cdot u(s)u'(s) + \beta(s) \cdot (u'(s))^2 = \varepsilon$$

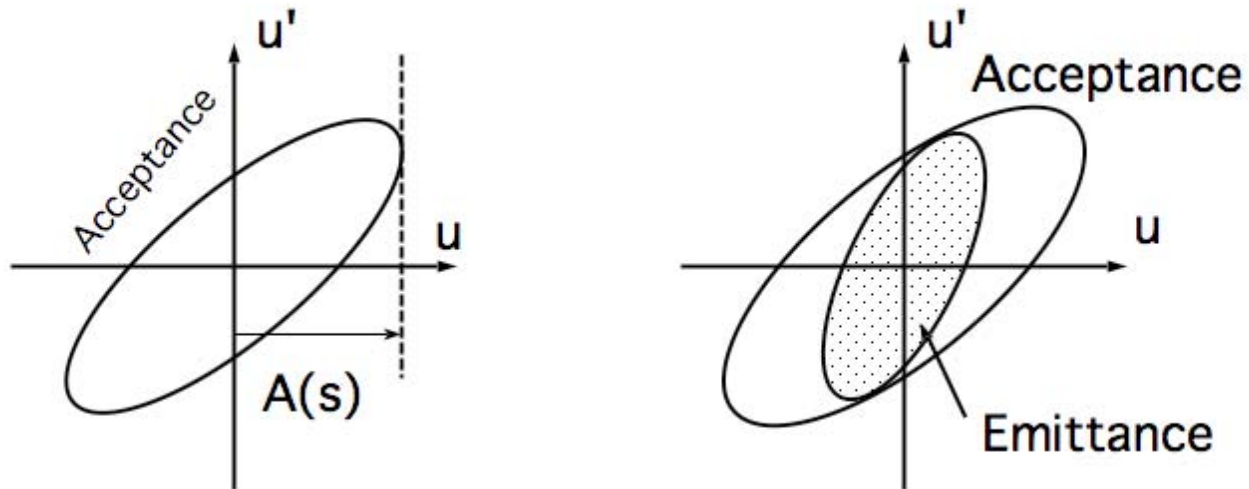
$$\text{ビームの広がり} : W_u(s) = \sqrt{\beta(s)\varepsilon}$$

$$\text{口径} : A(s)$$

$$W_u(s) = \sqrt{\beta(s)\varepsilon} < A(s) \quad \forall s$$

を満たす極大の保存量  $\varepsilon$  : アクセプタンス

# アクセプタンス3



ビーム分布はアクセプタンスの中でなければならない。

ビーム分布のTwiss parameterは加速器とは常には一致しない。

ビームのTwiss parameterを加速器,

輸送路と合わせる操作 : Matching

# シンクロトロン振動の定式化1

位相安定の原理の定式化

縦方向の位相平面、  
縦方向のアクセプタンス、  
縦方向のビームエミッタンス      の理解

# シンクロトロン振動の定式化2

位相平面：平衡粒子からのずれ

$$z(t) = s(t) - s_0(t),$$

$$p_z(t) = p(t) - p_0(t)$$

3つの時間スケール：

1. 加速繰り返し, リング1周    ——    平均
2. シンクロトロン振動
3. 平衡粒子のエネルギー変化    ——    一定値

# シンクロトロン振動の定式化3

加速周期あたり時間のずれ

$$\begin{aligned}\frac{\Delta\tau}{T_0} &= \frac{dC}{C_0} - \frac{dv}{v_0} \\ &= \left( \frac{p_0}{C_0} \frac{dC}{dp} - \frac{p_0}{v_0} \frac{dv}{dp} \right) \frac{p_z}{p_0} = \eta \cdot \frac{p_z}{p_0}\end{aligned}$$

$\eta$  : slippage factor、符号によって安定位相が異なる

$$\frac{\Delta\tau}{T_0} = \left( \alpha - \frac{1}{\gamma^2} \right) \frac{p_z}{p_0} = \eta \cdot \frac{p_z}{p_0} \quad \alpha : \text{momentum compaction factor}$$

$$\Delta z = -\eta v_0 T_0 \frac{p_z}{p_0}$$

$$(\Delta z = -\Delta\tau \cdot v)$$

# シンクロトロン振動の定式化4

加速周期あたりの運動量変化

$$\Delta p_z = \Delta p - \Delta p_0 = \frac{\Delta E}{v} - \frac{\Delta E_0}{v_0} = \frac{qV}{v_0} (\sin \phi - \sin \phi_0)$$

$$\phi = \phi_0 - \omega \frac{z}{v_0}$$

$$\Delta p_z = \frac{qV}{v_0} (\sin(\phi_0 - \omega \frac{z}{v_0}) - \sin \phi_0)$$

まとめると

$$\frac{dz(t)}{dt} = -\eta v_0 \frac{p_z(t)}{p_0}$$

$$\frac{dp_z(t)}{dt} = \frac{qV}{v_0 T_0} (\sin(\phi_0 - \omega \frac{z(t)}{v_0}) - \sin \phi_0)$$

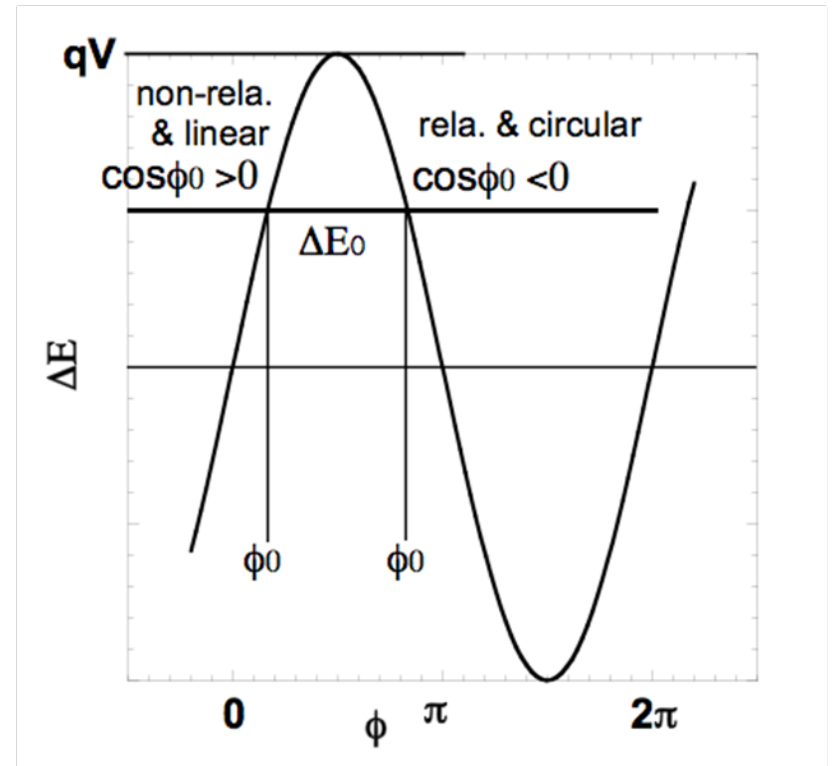
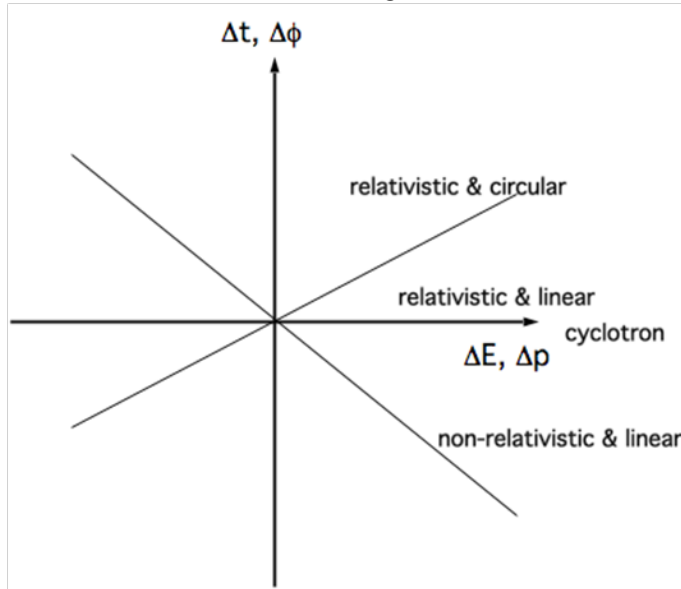
# 安定条件1

線形化

$$\frac{dp_z(t)}{dt} = -\frac{q\omega V}{v_0^2 T_0} \cos\phi_0 \cdot z(t)$$

$$\frac{d^2 z(t)}{dt^2} - \frac{q\eta V \omega}{v_0 p_0 T_0} \cos\phi_0 \cdot z(t) = 0$$

安定条件 :  $\eta \cos\phi_0 < 0$



# 安定条件2

シンクロトロン振動

$$\frac{d^2 z(t)}{dt^2} + \frac{q\eta V}{p_0 T_0} \left( \sin\left(\phi_0 - \omega \frac{z(t)}{v_0}\right) - \sin\phi_0 \right) = 0$$

$$\phi(t) = \phi_0 - \omega \frac{z(t)}{v_0} \quad \text{に変換}$$

$$\frac{d^2 \phi(t)}{dt^2} - K (\sin\phi(t) - \sin\phi_0) = 0$$

$$\frac{q\eta\omega V}{v_0 p_0 T_0} = K$$

エネルギー積分

$$\frac{1}{2} (\dot{\phi}(t))^2 + K (\cos\phi(t) + \sin\phi_0 \cdot \phi(t)) = E$$

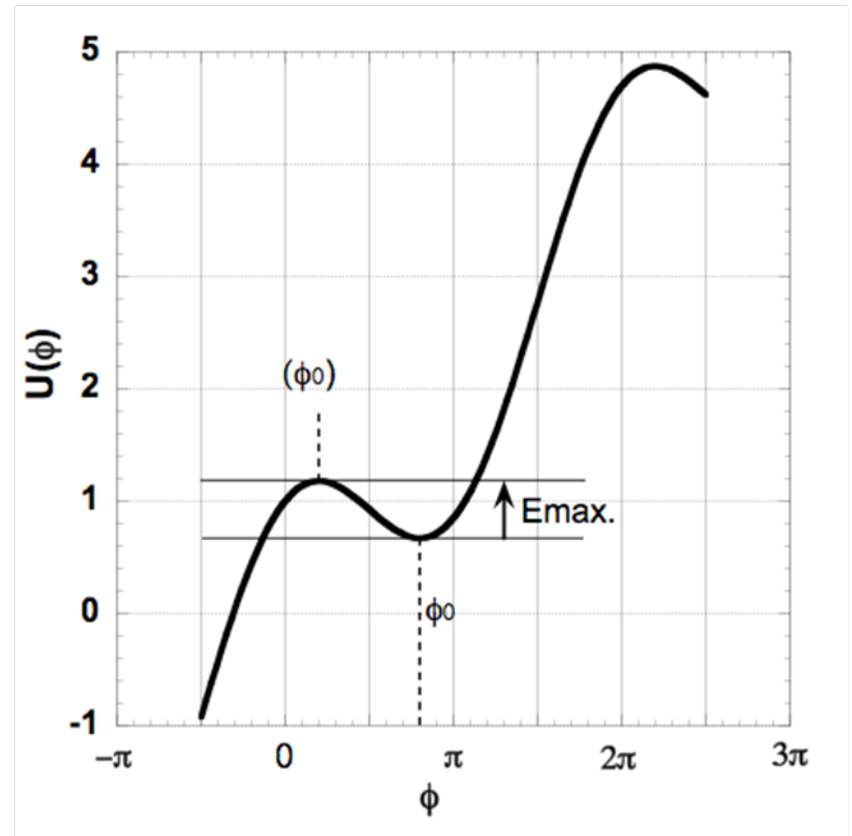


# 安定条件3

ポテンシャルエネルギー

$$U(\phi) = K (\cos \phi(t) + \sin \phi_0 \cdot \phi(t))$$

縦方向のアクセプタンス



# 平衡粒子から運動量がずれた粒子の運動1

## 分散関数

水平偏向磁石の軌道長 $ds$ 間の偏向角  $\frac{ds}{\rho(s)} \left(1 - \frac{\delta p}{p}\right)$

$$x'(s + ds) - x'(s) = x''(s)ds = \frac{ds}{\rho(s)} \cdot \frac{\delta p}{p}$$

ベータ トロン振動と組み合わせる

$$\frac{d^2x}{ds^2} + K(s) \left(1 - \frac{\delta p}{p}\right) \cdot x = \frac{1}{\rho(s)} \frac{\delta p}{p}$$

# 平衡粒子から運動量がずれた粒子の運動2

$$x(s) = x_c(s) + x_\beta(s)$$

特殊解  $\frac{d^2 x_c(s)}{ds^2} + K(s) \left(1 - \frac{\delta p}{p}\right) \cdot x_c(s) = \frac{1}{\rho(s)} \frac{\delta p}{p}$

一般解  $\frac{d^2 x_\beta(s)}{ds^2} + K(s) \left(1 - \frac{\delta p}{p}\right) \cdot x_\beta(s) = 0$

分散関数  $x_c(s) = \eta(s) \frac{\delta p}{p}, \quad x'_c(s) = \eta'(s) \frac{\delta p}{p}$

$$\frac{d^2 \eta(s)}{ds^2} + K(s) \cdot \eta(s) = \frac{1}{\rho(s)}$$

2自由度, リングでは連続条件で決定  
アクセプタンスの再考

# 平衡粒子から運動量がずれた粒子の運動3

軌道長変化

軌道差  $(x_c(s), x'_c(s))$

直線軌道  $\sqrt{1 + (x'_c)^2} ds - ds \approx \frac{1}{2} (x'_c)^2 ds$

水平偏向

$$(\rho(s) + x_c(s))d\theta - \rho(s)d\theta = x_c(s)d\theta = \frac{x_c(s)}{\rho(s)} ds$$

$$\Delta C = \int_{s_1}^{s_2} \frac{x_c(s)}{\rho(s)} ds = \int_{s_1}^{s_2} \frac{\eta(s)}{\rho(s)} ds \frac{\delta p}{p}$$

リングでは  $\frac{\Delta C}{C} = \frac{1}{C} \oint \frac{\eta(s)}{\rho(s)} ds \cdot \frac{\delta p}{p} = \alpha \frac{\delta p}{p}$

# ビーム輸送路の機能1

## 横方向

エミッタンス測定  
マッチング

## 縦方向

転送行列 (Twiss parameter) の導入

軌道長変化  $\rightarrow$  自由空間

高周波電場  $\rightarrow$  4極磁場

マッチング：エネルギー圧縮、バンチ圧縮

縦方向エミッタンス測定、エネルギー幅の測定

# ビーム輸送路の機能2

低エネルギー領域で特有な収束系

1. 静電レンズ
2. ソレノイド磁場
3. 交流加速電場による誘導磁場

# まとめ

加速器は、ビームを受け入れることができる  
有限の器である。 アクセプタンス

ビームは広がりを持っている。 エミッタンス

これらの大きさ、広がりは保存量であり  
位相平面での面積で表現できる。

輸送路は、3自由度の全てにおいて、  
ビームの広がりが、アクセプタンスの中に入  
ることを保証する機能を持つ（べきである）。  
エミッタンス測定、マッチング